

焦げたパンケーキグラフにおける内素な経路問題

澤田 直樹[†] 鈴木 康斗[†] 金子 敬一[†]

東京農工大学工学部[†]

1 はじめに

節点間の互いに素(内素)な経路問題は、並列計算機における重要な問題の一つである。

本研究では、焦げたパンケーキグラフ[1]の任意の2節点に対して、次数の多項式時間で、次数と同じ本数の内素な経路を作成する算法を提案する。この算法では、互いに素な部分グラフに、高々1つの構成を割り当てることによって内素な経路を実現する。算法により得られる経路長の総和と算法の時間計算量の平均値を、計算機実験によって調べた。

2 諸定義

[定義1] n 個の数字 $1, 2, \dots, n$ および n 個の符号 $b_i \in \{-1, +1\}$ ($1 \leq i \leq n$) からなるような順列 $u = (a_1 \times b_1, a_2 \times b_2, \dots, a_n \times b_n)$ を n 個の数字 $1, 2, \dots, n$ からなる符号付順列という。

[定義2] n 個の数字 $1, 2, \dots, n$ からなる任意の符号付順列 $u = (u_1, u_2, \dots, u_n)$ に対して、前置反転操作 $u^{(i)}$ を以下で定義する。

$$u^{(i)} = (-u_i, -u_{i-1}, \dots, -u_1, u_{i+1}, u_{i+2}, \dots, u_n)$$

以下では場所を節約するために、符号は上部に付加し、 $\overline{u_i}$ のように表記することとする。

[定義3] 次数 n の焦げたパンケーキグラフ B_n は、それぞれ固有な n 個の数字 $1, 2, \dots, n$ からなる符号付順列の1つをラベルとする $n! \times 2^n$ 個の節点を持つ。ラベル $u = (u_1, u_2, \dots, u_n)$ を持つ節点は、集合 $\{u^{(i)} \mid 1 \leq i \leq n\}$ の要素をラベルとして持つ各節点とのみ隣接する。

B_n において、ラベルの最後の数字 k を固定することで導出される部分グラフは、次数 $n-1$ の焦げたパンケーキグラフとなる。したがって、 B_n は $2n$ 個の B_{n-1} からなる。ラベルの最後の数字 k を固定することで導出される部分グラフを $B_{n-1}k$ で表す。 B_n における2つの節点間の経路選択には、文献[2]の多項式算法を用いる。

3 算法

次数 n の焦げたパンケーキグラフの2節点 s, d 間の n 本の内素な経路 $r_i (1 \leq i \leq n)$ を作成する算法を提案する。 $n=2$ の場合、 B_n における2頂点間の内素な経路問題に対する解は自明である。したがって、以下では $n \geq 3$ であると仮定する。 $s = (s_1, s_2, \dots, s_n)$ と表すこととし、 B_n の対称性から $d = (1, 2, \dots, n)$ と固定する。

任意の i ($1 \leq i \leq n-1$) に対して、 $t_i = (\overline{|i|+1}, \overline{|i|+2}, \dots, \overline{n}, |1|, |2|, \dots, |i|-1, i)$ とする。

場合 I $s_n = n$

r_n の構成:

$$s \rightarrow s^{(n)} \rightarrow s^{(n,j)} \rightarrow s^{(n,j,n)} \rightarrow^* t_{-1} \rightarrow^* d.$$

ただし、 j は $|s_{n-j+1}|=1$ を満たす。また、多項式経路算法による経路選択を \rightarrow^* で表す。

$r_i (1 \leq i \leq n-1)$ の構成:

$B_{n-1}n$ において、算法を再帰的に呼び出して、 $s-d$ 間の内素な $n-1$ 本の構成を作成する。

場合 II $s_1 \neq \pm n$ かつ $s_n \neq \pm 1, n$

$r_i (2 \leq i \leq n-1)$ の構成:

$$s_i < 0 \text{ ならば, } s \rightarrow s^{(i)} \rightarrow s^{(i,1)} \rightarrow s^{(i,1,n)} \rightarrow^*$$

$$t_{s_i} \rightarrow^* d, \text{ さもなくば, } s \rightarrow s^{(i)} \rightarrow s^{(i,n)} \rightarrow^*$$

$$t_{s_i} \rightarrow^* d.$$

r_1 の構成:

$$s_1 > 0 \text{ ならば, } s \rightarrow s^{(1)} \rightarrow s^{(1,n)} \rightarrow^* t_{s_1} \rightarrow^* d,$$

$$\text{さもなくば, } s \rightarrow s^{(1)} \rightarrow s^{(1,n)} \rightarrow s^{(1,n,1)} \rightarrow^*$$

$$t_{s_1} \rightarrow^* d.$$

r_n の構成:

$$s_1 > 0 \text{ ならば, } s \rightarrow s^{(n)} \rightarrow s^{(n,1)} \rightarrow s^{(n,1,n)} \rightarrow^*$$

$$t_{s_n} \rightarrow^* d, \text{ さもなくば, } s \rightarrow s^{(n)} \rightarrow^* t_{s_n} \rightarrow^* d.$$

場合 III $|s_1|=n$ かつ $s_n \neq \pm 1$

$s_1 = n$ ならば $j=1$, さもなくば $j=n$ とする。

An algorithm for node-disjoint paths in burnt pancake graphs

[†]Naoki Sawada, Yasuto Suzuki, Keiichi Kaneko

[†]Faculty of Technology, Tokyo Univ. of Agri. and Tech.

r_j の構成 :

$j=1$ ならば, $s \rightarrow s^{(1)} \rightarrow s^{(n)} \rightarrow^* d$,

さもなければ, $s \rightarrow s^{(n)} \rightarrow^* d$.

r_j における d の直前の節点 v のラベルの最初の数 v_1 とする.

$r_i (1 \leq i \leq n, i \neq j, s_i \neq v_1)$ の構成 :

場合 II の $r_i (1 \leq i \leq n)$ と同様に構成する.

$r_k (s_k = v_1)$ の構成 :

$s \rightarrow s^{(k)} \rightarrow s^{(k,n)} \rightarrow s^{(k,n,1)} \rightarrow s^{(k,n,1,n)} \rightarrow^* t_{s_n} \rightarrow^* d$.

場合 IV $s_1 \neq \pm n$ かつ $|s_n|=1$

多項式算法 [2] により $s-t_{s_n}$ 間の経路を作る. s の直後の節点 u のラベルの最初の数 u_1 とする.

$r_{|u_1|}$ の構成 :

$s \rightarrow^* t_{s_n} \rightarrow^* d$.

$r_i (1 \leq i \leq n, i \neq u_1)$ の構成 :

場合 II の $r_i (1 \leq i \leq n)$ と同様に構成する.

場合 V $|s_1|=n$ かつ $|s_n|=1$

$s_1 = n$ ならば $j=1$, さもなくば $j=n$ とする. 多項式算法 [2] により $s-t_{s_n}$ 間の経路を作る. s の直後の節点 u のラベルの最初の数 u_1 とする.

r_j の構成 :

場合 III の r_j と同様に構成する.

$r_{|u_1|} (|v_1| \neq 1, n)$ の構成 :

$s \rightarrow^* t_{s_n} \rightarrow^* d$.

$r_{n+1-j} (s_1 \neq |u_1|)$ の構成 :

$j=1$ ならば, $s \rightarrow s^{(n)} \rightarrow s^{(n,1)} \rightarrow s^{(n,1,n)} \rightarrow^* t_{s_n} \rightarrow^* d$, さもなくば, $s \rightarrow s^{(1)} \rightarrow s^{(1,n)} \rightarrow s^{(1,n,1)} \rightarrow s^{(1,n,1,n)} \rightarrow^* t_{s_n} \rightarrow^* d$.

$r_i (2 \leq i \leq n-1, i \neq |u_1|, s_i \neq v_1)$ の構成 :

場合 II の $r_i (1 \leq i \leq n)$ と同様に構成する.

$r_k (s_k = v_1, k \neq |u_1|)$ の構成 :

場合 III の r_k と同様に構成する.

4 計算機実験

算法の平均性能を評価するために, 以下のよ

うな手順で計算機実験を行った. n を 2 から 50 まで変化させて, 各々の n に対して次の 1, 2 を 100,000 回繰り返す.

(1) $d = (1, 2, \dots, n)$ とし, s を無作為に選択

(2) 算法を適用し, 実行時間と経路長を測定

図 1 および図 2 に, 平均時間計算量と経路長の総和の平均を示す. これらの図より, 平均時間と経路長の総和の平均が n の多項式オーダーであり, それぞれ $O(n^{2.5})$, $O(n^{2.07})$ 程度となることがわかる.

5 結論

本論文で, 我々は B_n における任意の 2 節点間に内素な経路問題を解く算法を提案した. また, この算法の平均時間計算量が $O(n^{2.5})$ であること, 得られる経路長の総和平均が $O(n^{2.07})$ であることを示した. 今後の課題として, 算法の正しさの証明や理論的な性能評価が必要である.

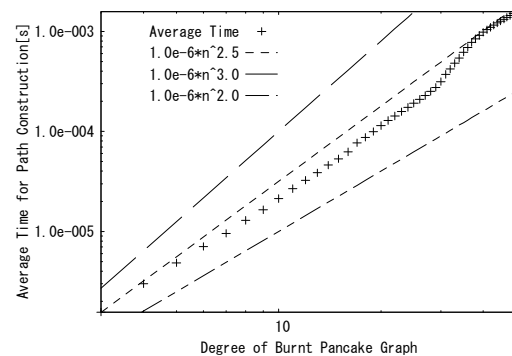


図1. 経路構成のための平均時間

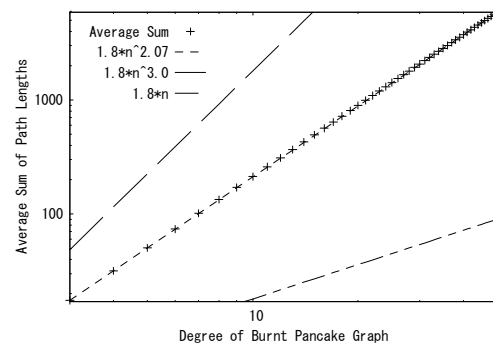


図2. 経路長総和の平均

参考文献

- [1] W. H. Gates et al. : Bounds for sorting by prefix reversal, Discrete Math., Vol. 27, pp. 47-57, 1979.
- [2] K. Kaneko: An algorithm for node-to-set disjoint paths problem in burnt pancake graphs, IEICE Trans. Info. & Sys., Vol. E86-D, pp. 2588-2594, 2003.